

**КОМПЛЕКСНОЕ ИССЛЕДОВАНИЕ СТАРЕНИЯ  
БЕРИЛЛИЕВОЙ БРОНЗЫ БрБ–2 В ПОСТОЯННОМ  
МАГНИТНОМ ПОЛЕ<sup>1</sup>**

© 2001 Ю.В. Осинская, А.В. Покоев<sup>2</sup>

Методом микротвердости, металлографии, электронной микроскопии, рентгеноструктурного анализа и диффузного фона рассеяния рентгеновских лучей выполнено комплексное исследование влияния постоянного магнитного поля на процесс старения бериллиевой бронзы БрБ–2. Предложен оптимальный режим термомагнитной обработки.

## **Введение**

Одним из современных и эффективных методов термообработки металлических сплавов, которым существенно удается повысить их прочность, является технология искусственного старения в условиях наложения внешних воздействий. В этом смысле возможности термомагнитной обработки в постоянном магнитном поле (ПМП) как способа контролируемого воздействия и модификации свойств сплавов остаются далеко невыясненными. В связи с появлением новых количественных научных данных о влиянии ПМП на диффузию в порошковых, поли- и монокристаллических веществах [1] возникает необходимость в прикладном использовании этого эффекта. Очень интересным с точки зрения физики является тот факт, что такой сплав, как бериллиевая бронза, являясь типичным диамагнетиком, заметно реагирует на приложенное магнитное поле при искусственном старении, проявляя при этом существенное изменение физико-механических свойств (например, микротвердости).

Целью настоящей работы было комплексное экспериментальное исследование кинетики влияния ПМП на процесс старения бериллиевой бронзы БрБ–2 и разработка на основе полученных экспериментальных и литературных данных оптимальных режимов термомагнитной обработки.

## **Методика и результаты измерений**

В качестве объекта исследования была выбрана бериллиевая бронза БрБ–2 (сплав Be — 1.9 вес.%, Ni — 0.2–0.5 вес.%, Cu — остальное), который широко используется

<sup>1</sup>Представлена доктором физико-математических наук профессором В. А. Салеевым.

<sup>2</sup>Осинская Юлия Владимировна ([ojuv@ssu.samara.ru](mailto:ojuv@ssu.samara.ru)), Покоев Александр Владимирович ([pokoev@ssu.samara.ru](mailto:pokoev@ssu.samara.ru)), кафедра физики твердого тела и неравновесных систем Самарского государственного университета, 443011, г. Самара, ул. Акад. Павлова, 1.

для изготовления узлов и деталей в медицинской технике, от материала которых требуется высокая устойчивость против коррозии, высокие прочностные и упругие свойства.

На основе литературных данных [2] и ранее проведенных предварительных исследований [3], для изучения влияния ПМП на свойства сплава, образцы из бериллиевой бронзы БрБ-2 после закалки с  $800^{\circ}\text{C}$  в воду отжигали с целью старения в вакууме  $\sim 10^{-3}$  Па. Были выбраны следующие режимы старения: температура старения — 300, 325, 350, 400 и  $450^{\circ}\text{C}$ , время отжига от 10 до 120 мин — в ПМП с напряженностью от 0 до 7 кЭ.

Для изучения старения сплава БрБ-2 в ПМП использовали комплекс физических методов исследования: метод микротвердости, металлография, электронная микроскопия, рентгенофазовый и рентгеноструктурный анализ, метод диффузного фона рассеяния рентгеновских лучей. Ниже приводятся основные экспериментальные данные, полученные этими методами.

Микротвердость измерялась с помощью микротвердомера HAUSER при нагрузке 50 г и времени нагружения 15 с. На рис. 1 представлены результаты измерений микротвердости образцов в закаленном (исходном) состоянии, а также после термической и термомагнитной обработки для температур 300, 325, 350, 400 и  $450^{\circ}\text{C}$ .

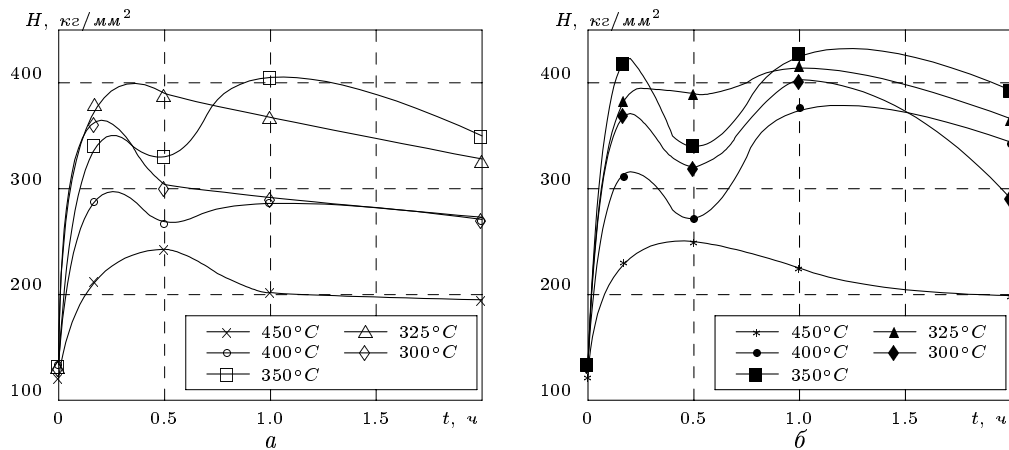


Рис. 1. Зависимость микротвердости от времени отжига при разных температурах: а — без наложения поля, б — с наложением поля напряженностью 7 кЭ

Каждое значение микротвердости было получено усреднением по 10–13 измерениям. Относительная среднеквадратичная ошибка отдельного измерения составляла  $\sim 5\text{--}15\%$ , а среднеквадратичная ошибка среднего значения микротвердости —  $\sim 2\text{--}5\%$ . Среднее значение микротвердости в закаленном состоянии составляло  $132 \pm 3 \text{ кг}/\text{мм}^2$ .

После отжига без поля длительностью 0.17 ч при температурах 300, 325, 350, 400 и  $450^{\circ}\text{C}$  микротвердость резко увеличивается от  $132 \text{ кг}/\text{мм}^2$  до 364, 371, 343, 292, 217  $\text{кг}/\text{мм}^2$  соответственно. Дальнейшее увеличение отжига от 0.17 до 0.5 ч приводит к спаду микротвердости до 304, 360, 331, 261  $\text{кг}/\text{мм}^2$  для температур 300, 325, 350, 400°C соответственно. При  $450^{\circ}\text{C}$  микротвердость продолжает расти до 240  $\text{кг}/\text{мм}^2$ , а лишь затем происходит ее спад. Такое изменение микротвердости после отжига для температур 300, 325, 350 и 400°C без поля позволяет сделать вывод, что основная доля процесса старения завершается в течение первых 10–15 минут отжига, а дальнейший отжиг приводит к стабилизации структуры за счет

процессов полигонизации, фазового старения и совершенствования тонкой структуры сплава. Таким образом, выбрав кратковременные отжиги, нам удалось выяснить особенности кинетики изменения микротвердости от времени отжига.

Приведенные значения микротвердости при отжигах без ПМП хорошо согласуются с литературными данными [2], что свидетельствует о повторяемости и достоверности результатов. Наложение магнитного поля с напряженностью 7 кЭ на те же режимы термической обработки во всех случаях приводит к еще большему возрастанию микротвердости образцов.

Наибольшее значение микротвердости наблюдается после отжига 1 ч в ПМП, которое составляет 403 кг/мм<sup>2</sup> при температуре 300°C (416, 428, 291 кг/мм<sup>2</sup> при температурах 325, 350, 400°C соответственно). Дальнейшее увеличение температуры отжига приводит к завершению процесса старения, что уже хорошо наблюдается при температуре 450°C. Можно сделать вывод, что оптимальным режимом термо-магнитной обработки является отжиг при температуре 350°C, времени отжига 1 ч и поле напряженностью 7 кЭ. Это утверждение было подтверждено другими методами комплексного исследования, результаты которых приводятся ниже.

Металлографические снимки образцов, отожженных в течение 0.17–2 ч при температуре 350°C без поля, показывают, что макроструктура сплава после отжига не претерпевает существенные изменения: форма и размер зерен изменяются незначительно с увеличением времени отжига. В теле отдельных зерен наблюдаются двойники. Обработка реплик с поверхности образцов, отожженных без поля, показывает, что границы зерен имеют ширину 6–15 мкм.

Металлографические снимки образцов, отожженных в ПМП в течение 0.17–2 ч при температуре 350°C, не выявляют существенного влияния ПМП на макроструктуру зерен. Однако обработка реплик с поверхности образцов, отожженных в ПМП, свидетельствует о более равномерной структуре по сравнению с отжигами без поля; границы зерен становятся тоньше и четче.

В данной работе с помощью дифрактометра ДРОН-2 был выполнен рентгенофазовый анализ образцов, прошедших термическую и термомагнитную обработку. Данные показывают, что  $\alpha$ -линии закаленного образца, который представляет собой сплав Cu с равномерно распределенными атомами Be, смешены на 11–16' на передних линиях и 42–54' на задних линиях в сторону больших углов по сравнению с соответствующими линиями чистой меди. Это связано с тем, что в решетке сплава БрБ-2 более крупные атомы Cu замещены меньшими по размеру атомами Be, т.е. параметр решетки сплава меньше, чем параметр чистой Cu. Также следует отметить, что после отжигов наблюдается увеличение параметра решетки сплава, причем это увеличение в ПМП больше, чем без поля. Это говорит о том, что поле ускоряет процесс перехода атомов Be из раствора в обогащенные зоны (зоны Гинье-Престона) и, следовательно, приводит к увеличению параметра оставшегося материнского твердого раствора.

По данным рентгенофазового анализа были рассчитаны: параметр решетки материнской матрицы, концентрация Be в остаточной матрице (рис. 2) в зависимости от времени, температуры отжига и напряженности ПМП.

При расшифровке дифрактограмм выявлены линии, соответствующие Cu-Be- $\gamma$ -фазе [4] на всех отожженных образцах в поле и без него. Однако количественный анализ произвести было невозможно. Все расчеты выполнялись по задним рентгеновским линиям, так как точность расчетов по ним выше, чем по передним.

Данные по брэгговским (111) $_{\alpha}$ -углам отражения бронзы показывают, что термическая обработка приводит к смещению их положения в сторону меньших значений

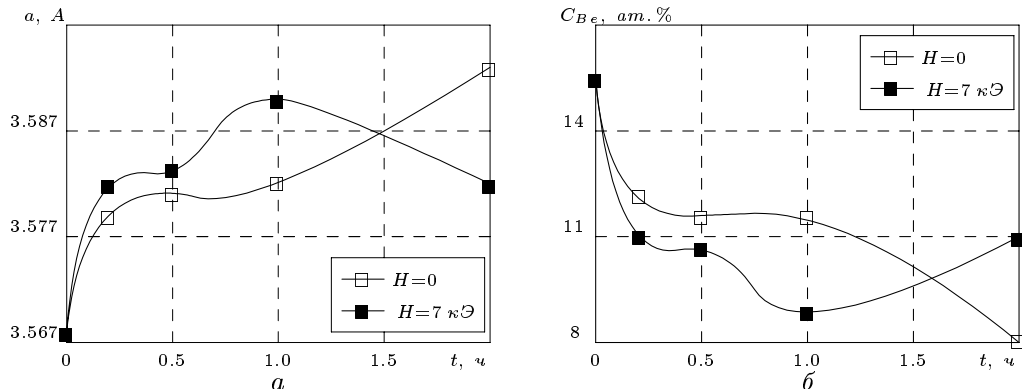


Рис. 2. Зависимость параметра решетки матрицы (а) и концентрации  $Be$  (б) в матрице сплава БрБ-2 от времени отжига

углов при всех режимах отжига. Это свидетельствует об истощении матрицы сплава атомами  $Be$  и переходе их в зоны обогащения. Линии второго порядка отражения появляются только после отжига в течение 1 ч. Поэтому судить о них по предыдущим отжигам нет возможности. Отсутствие этих линий при кратковременных отжигах связано с их большей чувствительностью к структурно-напряженному состоянию материала. Полученные результаты позволяют также сделать вывод, что наиболее значительные изменения в положении линий происходят при отжигах от 0.17 до 0.5 ч, т.е. в этих временных пределах происходит основная доля формирования зон обогащения.

По физическому уширению линии сплава БрБ-2 были рассчитаны параметры тонкой структуры сплава: размер когерентно-рассеивающих блоков  $\langle D \rangle$ , величины микроискажений  $\langle \Delta d/d \rangle$ , плотность дислокаций  $\rho$  после указанных режимов. Расчеты выполнялись по следующим формулам [5]:

$$\langle D \rangle = \frac{\lambda (\sin \Theta_{222} - \sin \Theta_{111})}{\cos \Theta_{111} \cos \Theta_{222} (\beta_{111} \operatorname{tg} \Theta_{222} - \beta_{222} \operatorname{tg} \Theta_{111})};$$

$$\left\langle \frac{\Delta d}{d} \right\rangle = \frac{\beta_{111} \cos \Theta_{111} \cos \Theta_{222} - \beta_{222}}{4 \operatorname{tg} \Theta_{111} \cos \Theta_{111} \cos \Theta_{222} - 4 \operatorname{tg} \Theta_{222}};$$

$$\rho = \frac{3}{\langle D \rangle^2},$$

где  $\Theta_{111}$ ,  $\Theta_{222}$  — углы для двух порядков отражения,  $\beta_{111}$ ,  $\beta_{222}$  — физические уширения линий,  $\lambda$  — длина волны Со-излучения.

Анализ приведенных в таблице данных свидетельствует о том, что наложение поля на отжиг приводит к формированию более равномерной фрагментированной структуры за счет дробления зерен на более мелкие блоки когерентного рассеяния.

Также в работе произведены исследования процесса старения методом измерения диффузного фона рентгеновских лучей (см. рис. 3). Измерения проводились на рентгеновском двухкристалльном спектрометре в монохроматизированном излучении  $\text{CoK}_{\alpha_1}$ . Затем данные обрабатывались по методике [6] и с помощью программы, которая рассчитывает функции радиального распределения атомов, координационные числа, средние межатомные расстояния и средние отклонения атомов от положения равновесия при тепловых колебаниях.

**Таблица**

Зависимость параметров тонкой структуры сплава от времени отжига  
при температуре 350°C

Время отжига, $t$	$D \cdot 10^4, \text{ см}$		$\rho \cdot 10^{-8}, 1/\text{см}^2$		$\Delta d/d \cdot 10^4$	
	$H = 0 \text{ кЭ}$	$H = 7 \text{ кЭ}$	$H = 0 \text{ кЭ}$	$H = 7 \text{ кЭ}$	$H = 0 \text{ кЭ}$	$H = 7 \text{ кЭ}$
0.17	-1.2	-0.9	2.1	3.7	2.1	1.7
0.5	-0.8	-0.7	4.7	6.1	1.6	1.4
1	-1.1	-1.0	2.5	3	1.3	1.1
2	-0.8	-0.8	4.7	4.7	1.2	1.2

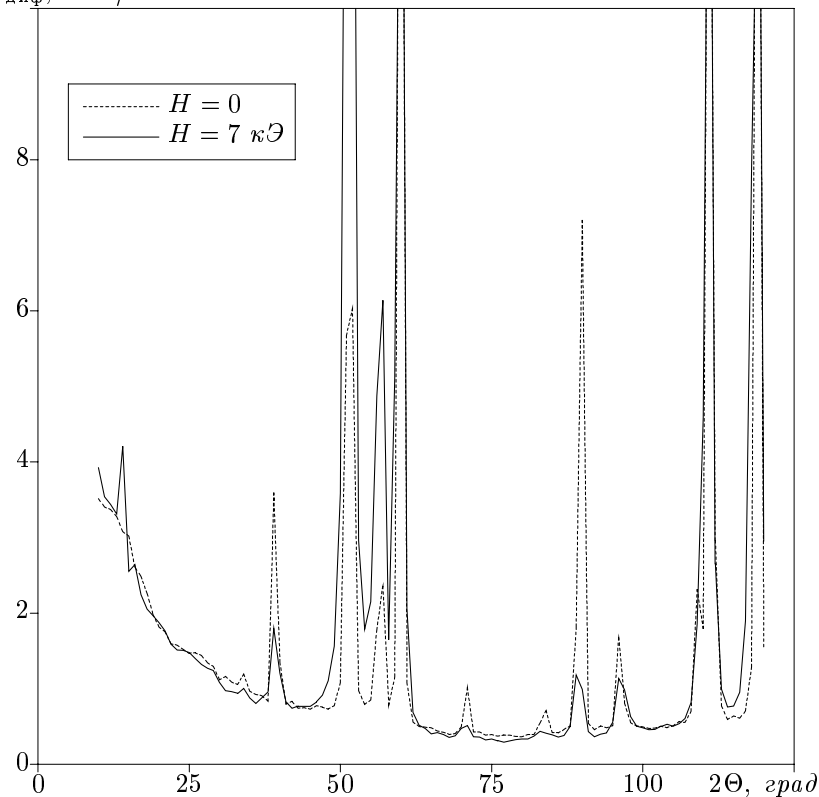
 $I_{\text{диф}}, \text{ амп/с}$ 

Рис. 3. Экспериментальные кривые диффузного фона

Сравнивая кривые диффузного фона, можно сделать вывод, что он весьма чувствителен к процессу старения сплава бериллиевой бронзы и его использование перспективно для дальнейших исследований процессов упорядочения структуры.

## Краткие выводы

Результаты, полученные в данной работе, позволяют сделать следующие выводы:

1. Наложение ПМП на процесс старения бериллиевой бронзы БрБ-2 при различ-

ных режимах термомагнитной обработки всегда приводит к формированию более равномерной структуры и увеличению микротвердости сплава по сравнению с соответствующими данными, полученными без ПМП.

2. Результаты измерений микротвердости и данные рентгеноструктурного анализа показывают, что основная доля процесса распада в твердом растворе завершается после отжига длительностью 0.17–0.5 ч.

3. Результаты комплексного исследования старения бериллиевой бронзы БрБ–2 позволяют рекомендовать оптимальный следующий режим термомагнитной обработки: температура отжига — 350°C, время отжига — 1 ч, напряженность ПМП — 7 кЭ.

## Литература

- [1] Mironov D.V., Pokoev A.V., Stepanov D.I., Trofimov I.S. Mechanisms of the impurity diffusion in the ferromagnetic metals in the constant magnetic field// Abstract Booklet DIFTRANS-98 International Work-shop "Diffusion and diffusional phase transformations in alloys". Cherkasy, Ukraina, 1998. P. 10–20.
- [2] Тофпенец Р.Л. Разупрочняющие процессы в стареющих сплавах. Минск: Наука и техника, 1979. 184 с.
- [3] Анисович А.Г., Журавель Л.В., Покоев А.В. Влияние ПМП на старение бериллиевой бронзы БрБ–2 // Взаимодействие излучения с твердым телом: Тез. докл. Междунар. конф., Минск, 1997. С. 249.
- [4] Чуистов К.В. Старение металлических сплавов. Киев: Наукова думка, 1985. 78 с.
- [5] Уманский Я.С., Скаков Ю.А., Иванов А.Н. и др. Кристаллография, рентгено-графия и электронная микроскопия. М.: Металлургия, 1982. 623 с.
- [6] Скрышевский А.Ф. Структурный анализ жидкостей и аморфных тел: Учеб. пособие для студентов вузов. М.: Высшая школа, 1980. 328 с.

## THE COMPLEX INVESTIGATION OF AGING OF BERYLLIUM BRONZE BrB-2 IN THE CONSTANT MAGNETIC FIELD<sup>3</sup>

© 2001 J.V. Osinskaya, A.V. Pokoev<sup>4</sup>

The complex investigation of the influence of a constant magnetic field on the process of aging of beryllium bronze BrB-2 was realized by the methods of microhardness, metallography, electronic microscopy, X-ray analysis and diffuse phone method of scattered X-rays. The optimum condition of a thermomagnetic treatment is proposed.

Поступила в редакцию 21/XI/2001;  
в окончательном варианте — 05/XII/2001.

---

<sup>3</sup>Communicated by Dr. Sci. (Phys. & Math.) Prof. V.A. Saleev.

<sup>4</sup>Osinetskaya Julia Vladimirovna (ojv@ssu.samara.ru), Pokoev Alexander Vladimirovich (pokoev@ssu.samara.ru), Dept. of Solid State Physics and Nonequilibrium Systems, Samara State University, Samara, 443011, Russia.